

# Démêler le rôle des variations temporelles et spatiales dans l'inflation en dynamique des populations

Édouard STRICKLER (CNRS, Nancy, France)

*Travail avec Michel Benaïm (Université de Neuchâtel), Claude Lobry (Nice) et Tewfik Sari (Inrae Montpellier)*

Journée de la Chaire MMB, Véolia

8 février 2023

# Début d'une épidémie dans un pays isolé



↪ Environnement Normal : chaque jour, nombre d'infectés multiplié par  $R_N > 1$

↪ Environnement Contraint : chaque jour, nombre d'infectés multiplié par  $R_C < 1$

# Début d'une épidémie dans un pays isolé

↪ Environnement Normal : chaque jour, nombre d'infectés multiplié par  $R_N > 1$

↪ Environnement Contraint : chaque jour, nombre d'infectés multiplié par  $R_C < 1$

Politique sanitaire périodique :  $T$  jours en environnement normal, suivis de  $T$  jours en environnement contraint, etc.

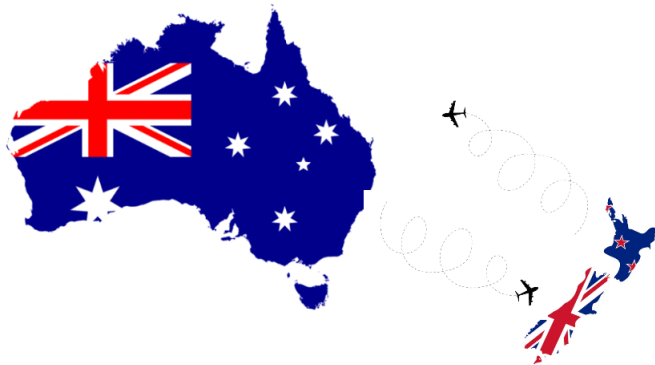
## Evolution nombre d'infectés

$I_t$  : nombre d'infectés au temps  $t \geq 0$ ,

$$I_{n2T} = (R_N R_C)^{nT} I_0$$

Si  $R_N R_C < 1$ , alors  $I_{n2T} \rightarrow 0$  quand  $n \rightarrow \infty$

# Les pays ne sont pas isolés



Migration représentée par  $m \geq 0$  : plus  $m$  est grand, plus il y a de mouvement entre les deux pays.

# Des politiques sanitaires asynchrones<sup>1</sup>

Dans chaque pays,

↪ Environnement Normal : chaque jour, nombre d'infectés multiplié par  $R_N > 1$

↪ Environnement Contraint : chaque jour, nombre d'infectés multiplié par  $R_C < 1$

Politique sanitaire périodique :  $T$  jours en environnement normal, suivis de  $T$  jours en environnement contraint, etc.

↪ **mais pas de manière synchrone !**

$t \in$	$[0, T[$	$[T, 2T[$	$[2T, 3T, [$	$[3T, 4T[$
AUS	$N$	$C$	$N$	$C$
N-Z	$C$	$N$	$C$	$N$

1. Holt et al, *PNAS* 2021

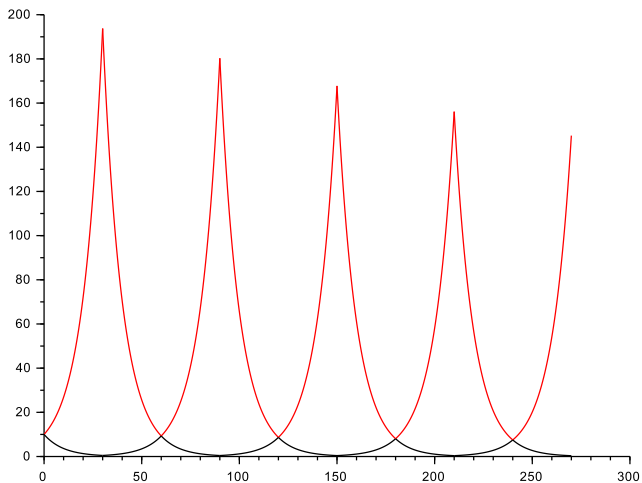


Figure –  $T = 30$ ,  $m=0$ ,  $I_t(AUS)$  en rouge,  $I_t(NZ)$  en noir

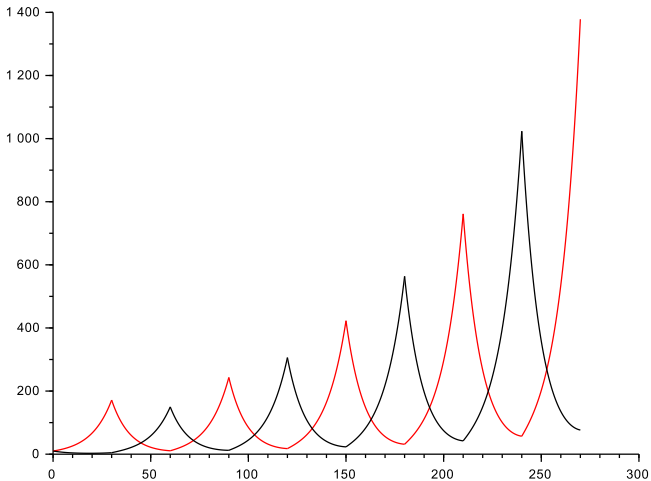


Figure –  $T = 30$ ,  $m=0.005$ ,  $\rightsquigarrow$  inflation !

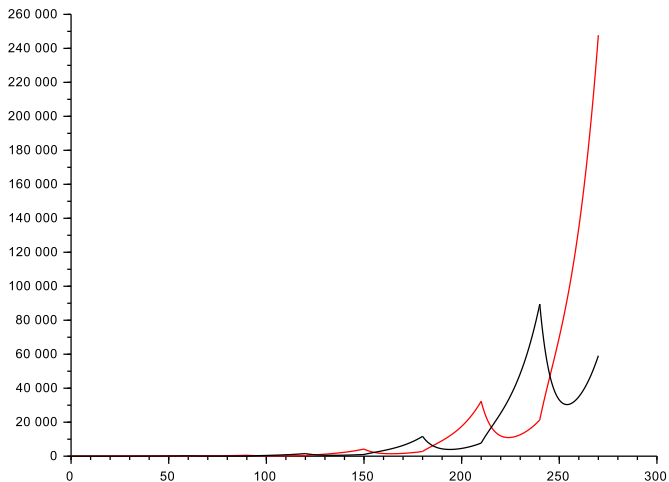


Figure –  $T = 30$ ,  $m=0.05$ ,  $\rightsquigarrow$  encore pire !



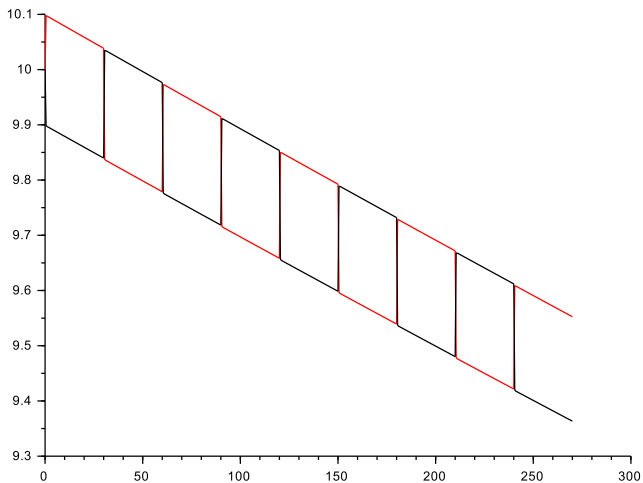


Figure –  $T = 30$ ,  $m=5$ ,  $\rightsquigarrow$  plus d'inflation !

- ↪ lorsque  $m = 0$ , l'épidémie est contenue
- ↪ une très petite valeur de  $m$  entraîne une explosion des cas (inflation)
- ↪ Il semble qu'il y ait une valeur de  $m$  menant au pire cas
- ↪ pour  $m$  assez grand, l'épidémie est contenue

### Notre objectif

- 1 Mieux comprendre ce phénomène, et comment les paramètres  $m$  et  $T$  jouent un rôle
- 2 Vérifier qu'il est robuste à des perturbations stochastiques

# Modèle mathématique général

On regarde

$$\begin{aligned}\frac{dx_1}{dt} &= r_1\left(\frac{t}{T}\right)x_1 + m(x_2 - x_1) \\ \frac{dx_2}{dt} &= r_2\left(\frac{t}{T}\right)x_2 + m(x_1 - x_2)\end{aligned}$$

où :

- $r_i$  : taux de croissance (déterministe ou aléatoire) dans le patch  $i$
- $T$  : temps typique de variation de l'environnement
- $m$  : taux de migration

↪ dans l'exemple précédent,  $r_1$  et  $r_2$  sont des fonctions 2 - périodiques

$$r_1(t) = \begin{cases} \ln(R_N) & t \in [0, 1) \\ \ln(R_C) & t \in [1, 2) \end{cases} ; \quad r_2(t) = \begin{cases} \ln(R_C) & t \in [0, 1) \\ \ln(R_N) & t \in [1, 2) \end{cases}$$

$$\frac{dx_1}{dt} = r_1\left(\frac{t}{T}\right)x_1 + m(x_2 - x_1)$$
$$\frac{dx_2}{dt} = r_2\left(\frac{t}{T}\right)x_2 + m(x_1 - x_2)$$

$$\frac{dx_1}{dt} = r_1\left(\frac{t}{T}\right)x_1 + m(x_2 - x_1)$$

$$\frac{dx_2}{dt} = r_2\left(\frac{t}{T}\right)x_2 + m(x_1 - x_2)$$

## Hypothèse sur $r_i$

On suppose qu'il existe  $\bar{r}_i \in \mathbb{R}$  (déterministe) tel que

$$\lim_{t \rightarrow \infty} \frac{1}{t} \int_0^t r_i(s) ds = \bar{r}_i$$

Alors, si  $m = 0$ ,

$$x_i(t) \sim x_0 e^{\bar{r}_i t}$$

et donc  $x_i(t) \rightarrow 0$  si  $\bar{r}_i < 0$  et  $x_i(t) \rightarrow \infty$  si  $\bar{r}_i > 0$ .

$\rightsquigarrow \bar{r}_i$  donne le comportement en temps long dans le patch  $i$  en l'absence de migration

$\rightsquigarrow$  dans l'exemple initial,  $\bar{r}_1 = \bar{r}_2 = \frac{1}{2} \ln(R_N R_C) < 0$ .

$$\begin{aligned}\frac{dx_1}{dt} &= r_1\left(\frac{t}{T}\right)x_1 + m(x_2 - x_1) \\ \frac{dx_2}{dt} &= r_2\left(\frac{t}{T}\right)x_2 + m(x_1 - x_2)\end{aligned}$$

Lorsque  $m > 0$

Sous de bonnes hypothèses<sup>a</sup>, il existe  $\Lambda(r_1, r_2, m, T) \in \mathbb{R}$  (déterministe) tel que

$$\lim_{t \rightarrow \infty} \frac{1}{t} \ln(x_1(t)) = \lim_{t \rightarrow \infty} \frac{1}{t} \ln(x_2(t)) = \Lambda(r_1, r_2, m, T).$$

a. e.g.  $r_i$  périodique ou semi-Markovien ou Markovien Feller

↪ si  $m > 0$ , le taux de croissance en temps long est le même dans les deux patches

↪ but : comprendre le comportement de  $\Lambda(r_1, r_2, m, T)$  en fonction de  $m$  et  $T$

*Remarque : en général, pas de formule explicite pour  $\Lambda(r_1, r_2, m, T)$*

# Un cas particulier

Si  $r_1$  et  $r_2$  sont constantes (égales à  $\bar{r}_1$  et  $\bar{r}_2$ , resp.)

$$\Lambda(r_1, r_2, m, T) = \lambda(r_1, r_2, m)$$

où  $\lambda(r_1, r_2, m)$  est la valeur propre principale de la matrice

$$A(r_1, r_2, m) = \begin{pmatrix} r_1 - m & m \\ m & r_2 - m \end{pmatrix}$$

donnée par

$$\lambda(r_1, r_2, m) = \frac{1}{2}(r_1 + r_2) + \frac{1}{2}\sqrt{(r_1 - r_2)^2 + 4m^2} - m.$$

En particulier,

$$\lim_{m \rightarrow 0} \lambda(r_1, r_2, m) = \max(r_1, r_2).$$

# Formule explicite pour l'exemple initial

$$\Lambda(r_1, r_2, m, T) = \frac{1}{2T} \ln \frac{(e^{TA})^4 m^2 + 2 (e^{TA})^2 + m^2 + \sqrt{(e^{TA})^8 m^4 + 4 (e^{TA})^6 m^2 - 2 (e^{TA})^4 m^4 - 8 (e^{TA})^4 m^2 + 4 (e^{TA})^2 m^2 + m^4}}{2 (e^{TA})^2 (m^2 + 1) (e^{Tm})^2 (e^{T\epsilon})^2}$$

avec  $A = \sqrt{m^2 + 1}$  et  $\epsilon = -\frac{\ln(R_N R_C)}{\ln(R_N) - \ln(R_C)} > 0$



# Formule explicite pour l'exemple initial

$$\Lambda(r_1, r_2, m, T) = \frac{1}{2T} \ln \frac{(e^{TA})^4 m^2 + 2 (e^{TA})^2 + m^2 + \sqrt{(e^{TA})^8 m^4 + 4 (e^{TA})^6 m^2 - 2 (e^{TA})^4 m^4 - 8 (e^{TA})^4 m^2 + 4 (e^{TA})^2 m^2 + m^4}}{2 (e^{TA})^2 (m^2 + 1) (e^{Tm})^2 (e^{T\epsilon})^2}$$

avec  $A = \sqrt{m^2 + 1}$  et  $\epsilon = -\frac{\ln(R_N R_C)}{\ln(R_N) - \ln(R_C)} > 0$

↪ difficile d'en tirer quelque chose !!

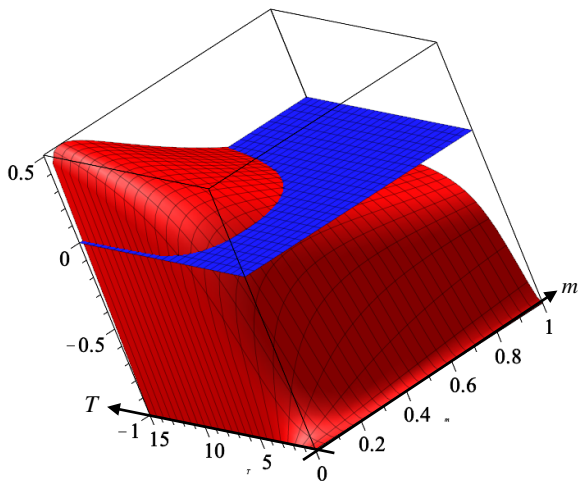


Figure – Graphique de  $(m, T) \mapsto \Lambda(r_1, r_2, m, T)$  pour  $\varepsilon = 0.5$

# Bornes sur $\Lambda(r_1, r_2, m, T)$

## Proposition

On a pour tous  $m, T > 0$ ,

$$\frac{1}{2}\bar{r}_1 + \frac{1}{2}\bar{r}_2 \leq \Lambda(r_1, r_2, m, T) \leq \overline{\max(r_1(\cdot), r_2(\cdot))}$$

↪ **Le taux de croissance asymptotique avec  $m > 0$  est toujours plus élevé qu'une moyenne des taux de croissance de chaque patch avec  $m = 0$ .**

↪ **Le taux de croissance asymptotique ne peut pas être plus grand que celui d'un patch idéalisé au taux de croissance maximal en tout temps**

# Bornes sur $\Lambda(r_1, r_2, m, T)$

## Proposition

On a pour tous  $m, T > 0$ ,

$$\frac{1}{2}\bar{r}_1 + \frac{1}{2}\bar{r}_2 \leq \Lambda(r_1, r_2, m, T) \leq \overline{\max(r_1(\cdot), r_2(\cdot))}$$

**Preuve borne inférieure** : On pose  $U = \frac{1}{2} \ln(x_1) + \frac{1}{2} \ln(x_2)$ . Alors,

$$\lim_{t \rightarrow \infty} \frac{U(t)}{t} = \Lambda(r_1, r_2, m, T)$$

et

$$\frac{dU(t)}{dt} = \frac{1}{2}r_1\left(\frac{t}{T}\right) + \frac{1}{2}r_2\left(\frac{t}{T}\right) + m \underbrace{\left(\frac{x_2}{x_1} + \frac{x_1}{x_2} - 2\right)}_{\geq 0}$$

# Asymptotiques de $\Lambda(r_1, r_2, m, T)$

## Théorème

Pour tout  $m > 0$  fixé,

$$\lim_{T \rightarrow 0} \Lambda(r_1, r_2, m, T) = \lambda(\bar{r}_1, \bar{r}_2, m)$$

$$\lim_{T \rightarrow \infty} \Lambda(r_1, r_2, m, T) = \overline{\lambda(r_1(\cdot), r_2(\cdot), m)}$$

En particulier,

$$\lim_{m \rightarrow 0} \lim_{T \rightarrow \infty} \Lambda(r_1, r_2, m, T) = \overline{\max(r_1(\cdot), r_2(\cdot))} = \sup_{m', T' > 0} \Lambda(r_1, r_2, m', T')$$

# Asymptotiques de $\Lambda(r_1, r_2, m, T)$

## Théorème

Pour tout  $m > 0$  fixé,

$$\lim_{T \rightarrow 0} \Lambda(r_1, r_2, m, T) = \lambda(\bar{r}_1, \bar{r}_2, m)$$

$$\lim_{T \rightarrow \infty} \Lambda(r_1, r_2, m, T) = \overline{\lambda(r_1(\cdot), r_2(\cdot), m)}$$

En particulier,

$$\lim_{m \rightarrow 0} \lim_{T \rightarrow \infty} \Lambda(r_1, r_2, m, T) = \overline{\max(r_1(\cdot), r_2(\cdot))} = \sup_{m', T' > 0} \Lambda(r_1, r_2, m', T')$$

Pour tout  $T > 0$  fixé,

$$\lim_{m \rightarrow 0} \Lambda(r_1, r_2, m, T) = \max(\bar{r}_1, \bar{r}_2)$$

$$\lim_{m \rightarrow \infty} \Lambda(r_1, r_2, m, T) = \frac{1}{2} \bar{r}_1 + \frac{1}{2} \bar{r}_2 = \inf_{m', T' > 0} \Lambda(r_1, r_2, m', T')$$

## Sur l'exemple initial...

$$\lim_{m \rightarrow \infty} \Lambda(r_1, r_2, m, T) = \inf_{m', T' > 0} \Lambda(r_1, r_2, m', T') = \frac{1}{2} \bar{r}_1 + \frac{1}{2} \bar{r}_2$$

Dans l'exemple initial,

$$\inf_{m', T' > 0} \Lambda(r_1, r_2, m', T') = \frac{1}{2} \ln(R_N R_C) < 0$$

$$\lim_{m \rightarrow 0} \lim_{T \rightarrow \infty} \Lambda(r_1, r_2, m, T) = \overline{\max(r_1(\cdot), r_2(\cdot))} = \sup_{m', T' > 0} \Lambda(r_1, r_2, m', T')$$

Dans l'exemple initial,

$$\sup_{m', T' > 0} \Lambda(r_1, r_2, m', T') = \ln(R_N) > 0$$

↪ **Si les états ne peuvent pas synchroniser leur politique sanitaire, vaut-il mieux encourager le mouvement plutôt que d'essayer de le contrôler ??**

# Seuil exponentiel dans le cas périodique

## Théorème

Si  $r_1$  et  $r_2$  sont des fonctions 1 - périodiques, avec  $\bar{r}_1 < 0$ ,  $\bar{r}_2 < 0$  et  $\chi = \max(r_1(\cdot), r_2(\cdot)) > 0$ , alors

$$\Lambda(r_1, r_2, m, T) = 0$$

admet une solution minimale  $m \sim_{T \rightarrow \infty} e^{-\chi T}$

$\rightsquigarrow$  en d'autres termes, la valeur critique de  $m$  pour laquelle le phénomène d'inflation apparaît est exponentiellement petite!

$\rightsquigarrow$  Dans l'exemple initial,  $\bar{r}_1 = \bar{r}_2 = \frac{1}{2} \ln(R_N R_C) < 0$  et

$$\max(r_1(t), r_2(t)) = \ln(R_N) > 0$$

donc  $\chi = \ln(R_N) > 0$ .



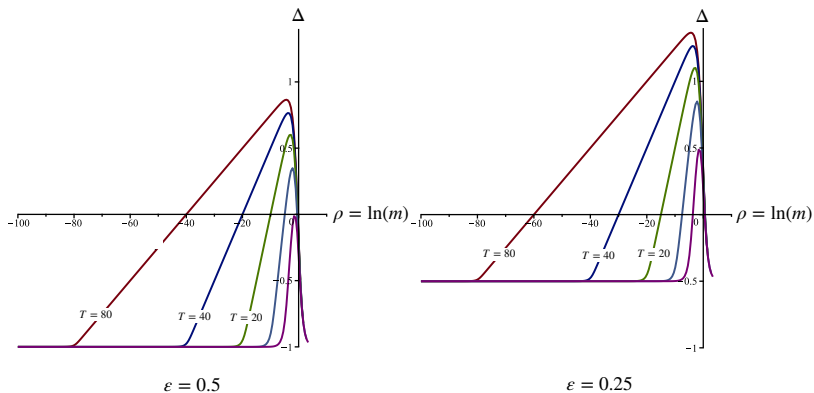


Figure – Graphique de  $\rho \mapsto \Lambda(r_1, r_2, e^\rho, T)$  dans l'exemple initial

Merci pour votre attention !